

A close-up image of a circular LED light fixture. The fixture has a silver-colored metal housing with a clear lens in the center. It is connected to a black cable that ends in a multi-pin connector. The background is white.

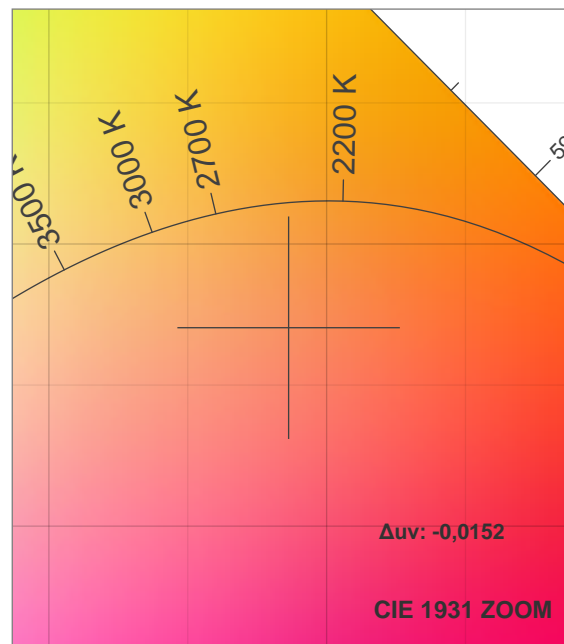
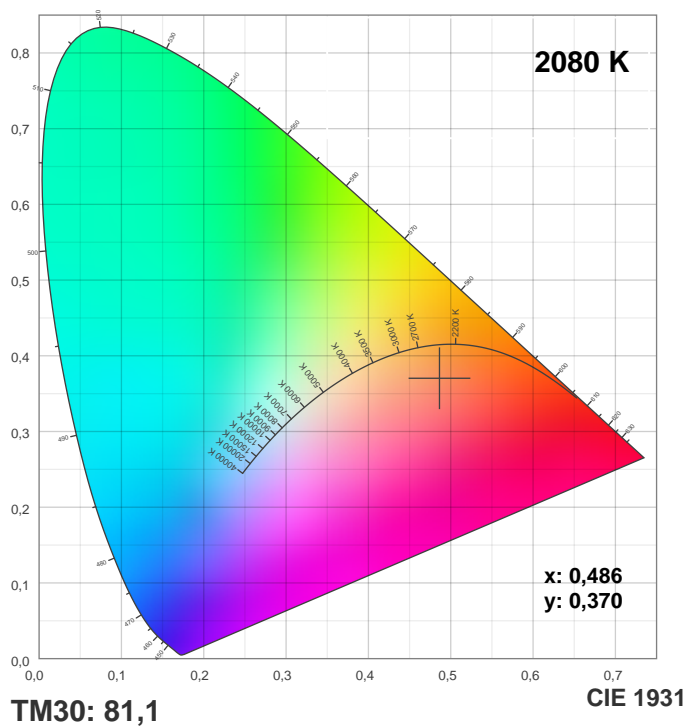


40°

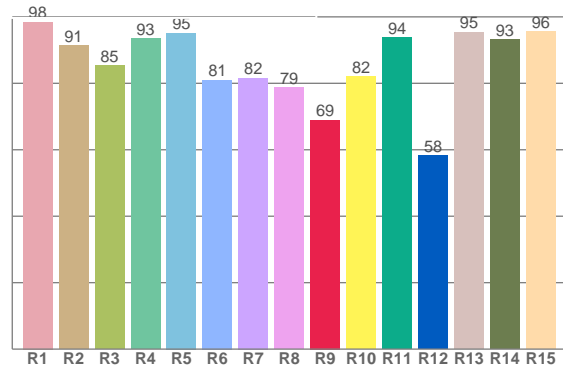
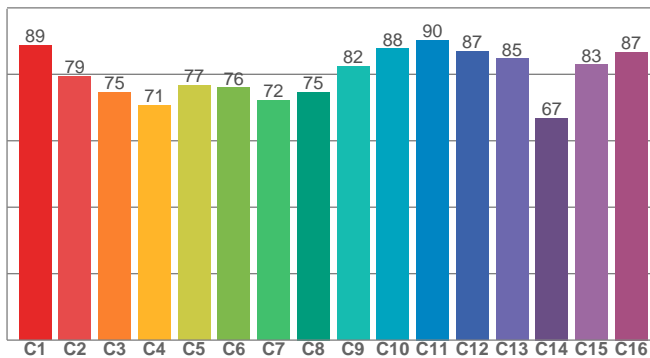
(angeschlossen an Labornetzteil)

The spectral plot for the 'pendant' variable shows a broad, intense peak centered around 600-650 nm, colored in shades of red and orange. The baseline is relatively flat with minor fluctuations, and there are no significant peaks in the blue or green regions.

[illegible]



CRI: 88,1 (R1-R8)



CRI R-Werte, nur R1-R8 werden zur Berechnung des endgültigen CRI-Wertes verwendet

R1	R2	R3	R4	R5	R6	R7	R8	R9	R10	R11	R12	R13	R14	R15
98,4	91,5	85,4	93,4	95,2	81,0	81,6	78,7	68,9	82,0	93,9	58,2	95,4	93,3	95,5

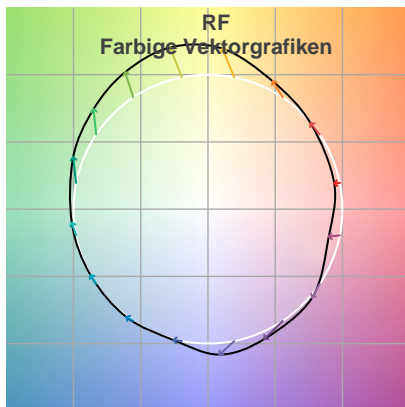
TM30 C-Werte, 16 eingelagerte Werte von insgesamt 99 C-Werten

C1	C2	C3	C4	C5	C6	C7	C8	C9	C10	C11	C12	C13	C14	C15	C16
88,7	79,3	74,6	70,6	76,7	75,9	72,2	74,7	82,4	87,7	90,3	86,9	84,7	66,9	82,9	86,7

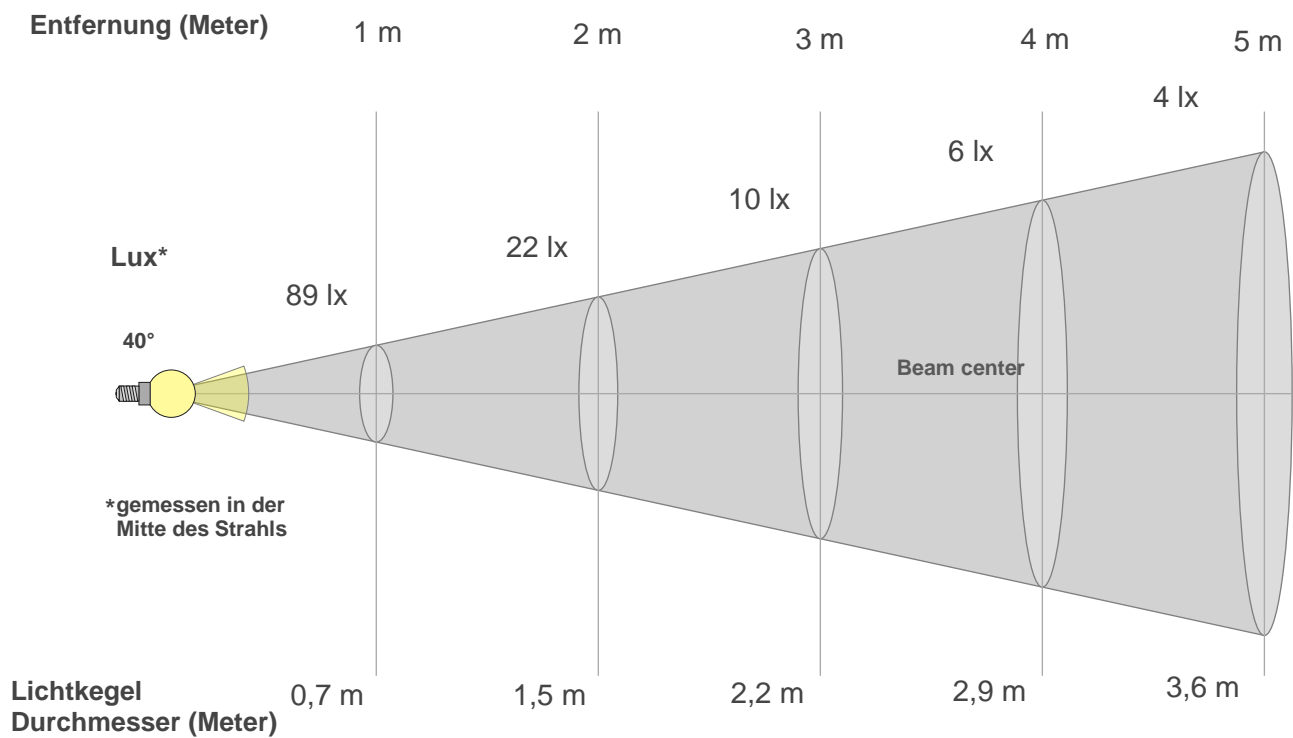
Farbparameter

Farbtemperatur CCT	CRI-Wert rendering CRI	Rotanteil R9 CRI R9	Farbtreue TM30 Rf	Farbbereich TM30 Rg
2080 K	88,1	68,9	81,1	111,0

TM30 Details



Lichtstrahl Details



Strahlintensitäten von 1-20m

1m	2m	3m	4m	5m	6m	7m	8m	9m	10m	3,3m	6,6m	9,8m	13,1m	16,4m	19,7m	23m	26,2m	29,5m	32,8m
89lx	22lx	10lx	6lx	4lx	2lx	2lx	1lx	1lx	1lx	8,2lx	2,1lx	0,9lx	0,5lx	0,3lx	0,2lx	0,2lx	0,1lx	0,1lx	0,1lx

Glare Evaluation According to UGR

p Decke		70	70	50	50	30	70	70	50	50	30
p Wand		50	30	50	30	30	50	30	50	30	30
p Boden		20	20	20	20	20	20	20	20	20	20
Raumgrößen X Y		Blickrichtung rechtwinklig zur Lampenachse					Blickrichtung parallel zur Lampenachse				
2H	2H	15,8	16,6	16,2	17,0	17,5	15,8	16,6	16,2	17,0	17,5
	3H	16,9	17,8	17,6	18,2	18,8	16,9	17,8	17,6	18,2	18,8
	4H	18,0	18,8	18,6	19,3	19,8	18,0	18,8	18,6	19,3	19,8
	6H	19,6	20,2	20,1	20,8	21,4	19,6	20,2	20,1	20,8	21,4
	8H	20,5	21,2	21,0	21,7	22,4	20,5	21,2	21,0	21,7	22,4
	12H	21,6	22,3	22,2	22,8	23,5	21,6	22,3	22,2	22,8	23,5
4H	2H	15,9	16,7	16,5	17,2	17,8	15,9	16,7	16,5	17,2	17,8
	3H	17,7	18,4	18,3	18,9	19,6	17,7	18,4	18,3	18,9	19,6
	4H	19,0	19,7	19,6	20,2	21,0	19,0	19,7	19,6	20,2	21,0
	6H	20,8	21,4	21,5	21,9	22,6	20,8	21,4	21,5	21,9	22,6
	8H	21,8	22,4	22,6	23,0	23,6	21,8	22,4	22,6	23,0	23,6
	12H	23,1	23,6	23,8	24,2	24,9	23,1	23,6	23,8	24,2	24,9
8H	4H	19,6	20,1	20,3	20,7	21,4	19,6	20,1	20,3	20,7	21,4
	6H	21,7	22,1	22,4	22,8	23,6	21,7	22,1	22,4	22,8	23,6
	8H	23,0	23,3	23,8	24,1	25,0	23,0	23,3	23,8	24,1	25,0
	12H	24,5	24,8	25,3	25,6	26,4	24,5	24,8	25,3	25,6	26,4
12H	4H	19,7	20,2	20,4	20,8	21,6	19,7	20,2	20,4	20,8	21,6
	6H	22,0	22,3	22,8	23,1	24,0	22,0	22,3	22,8	23,1	24,0
	8H	23,4	23,7	24,2	24,5	25,3	23,4	23,7	24,2	24,5	25,3
Variation der Beobachterposition für den Leuchtenabstand S											
S = 1.0H		0,1 / -0,1					0,1 / -0,1				
S = 1.5H		0,4 / -0,2					0,4 / -0,2				
S = 2.0H		0,6 / -0,3					0,6 / -0,3				
Standard-Tabelle		n/a					n/a				
Korrektur Zusammenfassung		n/a					n/a				
Korrigierte Blendungsindizes bezogen auf 82,3 lm Gesamtlichtstrom											